

АСИМПТОТИЧЕСКАЯ ТЕОРИЯ ТУРБУЛЕНТНОГО ПОГРАНИЧНОГО СЛОЯ КАК ЗАДАЧА ОСОБЫХ ВОЗМУЩЕНИЙ

Д. Н. Васильев

(Горький)

Рассматривается асимптотическая теория турбулентного пограничного слоя [1,2]. В данной статье делается попытка дальнейшего развития математического аспекта этой теории. Особенности теории продемонстрированы на задаче о близком к так называемому равновесному турбулентном пограничном слое с градиентом давления и вдувом.

Обозначения:

- x, y — координаты, параллельные и перпендикулярные стенке;
- u — составляющая скорость в направлении x ;
- p, ρ', ν — давление, плотность, кинематический коэффициент вязкости;
- l' — масштаб турбулентности;
- τ — касательное напряжение;
- u_δ — скорость на внешней границе пограничного слоя;
- δ — толщина пограничного слоя;
- δ^* — толщина вытеснения;
- δ^{**} — толщина потери импульса;
- C_f — коэффициент трения;
- R — число Рейнольдса.

Индексы 0 — стандартное течение, k — параметр в точке отгеснения (отрыва), * — параметр построен по толщине вытеснения, ** — параметр построен по толщине потери импульса, w — параметр на стенке.

1. **Постановка задачи, исходные определения и зависимости.** Введем, следуя [1], стандартный турбулентный пограничный слой, относящийся к плоской пластине в несжимаемой жидкости, и припишем ему нижний индекс 0. Для турбулентного касательного напряжения в общем случае примем

$$\tau = \rho l'^2 (du / dy)^2 \quad (1.1)$$

Вводя безразмерные координату η , скорость ω , плотность ρ и масштаб турбулентности l , получим

$$\frac{\tau}{\rho_\delta u_\delta^2} = \rho l^2 \left(\frac{d\omega}{d\eta} \right)^2 \quad \left(\eta = \frac{y}{\delta}, \omega = \frac{u}{u_\delta}, \rho = \frac{\rho'}{\rho_\delta}, l = \frac{l'}{\delta} \right) \quad (1.2)$$

Примем, что стандартный пограничный слой имеет на внешней границе те же параметры, что и исследуемый. Тогда из (1.1) следует

$$\frac{\tau}{\tau_0} = \frac{\rho l^2 (d\omega / d\eta)^2}{\rho_0 l_0^2 (d\omega_0 / d\eta)^2} \quad (1.3)$$

При $\nu \rightarrow 0$ соотношение (1.3) распространяется на всю толщину пограничного слоя и после формального интегрирования принимает вид

$$1 = \int_0^1 \left(\frac{\rho}{\rho_0} \frac{\tau_0}{\tau} \right)^{1/2} \frac{l}{l_0} d\omega \quad (1.4)$$

Соотношение (1.4) представляет собой с точностью до выполнения (1.1) интегральную формулировку предельного относительного закона трения в общем случае. Если принять $l \equiv l_0$, то из (1.4) получим

$$1 = \int_0^1 \left(\frac{\rho}{\rho_0} \frac{\tau_0}{\tau} \right)^{1/2} d\omega \quad (1.5)$$

Для случая течения на плоской пластине при $R \rightarrow \infty$ интеграл (1.5) получен и в более общем случае [1]. Показано, что требование автомодельности l по параметрам возмущения для всей толщины пограничного слоя в этом случае не является обязательным. Необходимо лишь существование условия $l \sim y$ в области $y_1 < y \ll \delta$. Выражение (1.4) имеет преимущество перед (1.5) в том смысле, что не предполагает консервативность масштаба турбулентности в общем случае по сравнению со стандартным течением и позволяет легко учесть эту неконсервативность, если известна лишь ее относительная количественная формулировка. Предельный относительный закон трения можно представить также и в ином виде. Из (1.3) аналогично (1.4) получаем

$$\int_0^1 d\omega = \int_0^1 \left(\frac{\rho_0}{\rho} \frac{\tau}{\tau_0} \right)^{1/2} \frac{l_0}{l} d\omega_0 \quad (1.6)$$

Вообще говоря, из (1.3) можно получить несколько интегральных формулировок предельного относительного закона в зависимости от того, в левую или правую часть соотношения (1.3) входит тот или иной сомножитель, описывающий относительное возмущение стандартного пограничного слоя. Можно также сформулировать предельный относительный закон в дифференциальном виде как краевую задачу

$$\frac{d\omega}{d\omega_0} = \left(\frac{\rho_0}{\rho} \frac{\tau}{\tau_0} \right)^{1/2} \frac{l_0}{l}, \quad \begin{array}{l} \omega = 0 \quad \text{при} \quad \omega_0 = 0 \\ \omega = 1 \quad \text{при} \quad \omega_0 = 1 \end{array} \quad (1.7)$$

Лишнее граничное условие дает искомую связь относительного закона трения с параметрами возмущения. Формальное интегрирование (1.7) дает тот или иной интегральный относительный закон.

Рассмотрим задачу о турбулентном пограничном слое в несжимаемой жидкости с положительным градиентом давления и вдувом. Для нахождения асимптотического относительного закона трения из выражений (1.4), (1.6) или (1.7) в этом случае необходимо знать связь относительного касательного напряжения и неконсервативности l с профилями скорости ω или ω_0 пограничного слоя и параметрами возмущения. В исследуемой задаче возмущениями являются вдув и продольный градиент давления. Так же как и в большинстве известных работ, примем в первом приближении, что $l/l_0 \equiv 1$.

Связь касательного напряжения с профилем скорости ω или ω_0 и параметрами возмущения находится из совместного рассмотрения уравнений неразрывности и движения в пограничном слое. Для пограничных слоев, близких к равновесным (в том смысле, что влияние производных от параметров возмущения по сравнению с влиянием самих параметров на течение в пограничном слое мало), из уравнений пограничного слоя в частных производных можно получить (см., например, [3]).

$$\frac{\tau}{\rho u_\delta^2} = \frac{C_{f_0}}{2} (\Psi z_1 + b z_2) + (-f) z_3$$

$$\begin{aligned}
 z_1 &= 1 - \frac{\delta}{\delta^{**}} \left(\omega \int_0^\eta \omega d\eta - \int_0^\eta \omega^2 d\eta \right) \\
 z_2 &= \omega - \frac{\delta}{\delta^{**}} \left(\omega \int_0^\eta \omega d\eta - \int_0^\eta \omega^2 d\eta \right) \\
 z_3 &= \eta - H \left(\omega \int_0^\eta \omega d\eta - \int_0^\eta \omega^2 d\eta \right) - \omega \int_0^\eta \omega d\eta \\
 \Psi &= \frac{C_f}{C_{f_0}}, \quad b = \frac{2\rho v_w}{\rho u_\delta C_{f_0}}, \quad f = \frac{\delta}{u_\delta} \frac{du_\delta}{dx}, \quad H = \frac{\delta^*}{\delta^{**}}
 \end{aligned} \tag{1.8}$$

С учетом этих зависимостей соотношение τ / τ_0 можно записать в виде

$$\frac{\tau}{\tau_0} = \Psi \varphi_1 + b \varphi_2 + \Lambda \varphi_3 \quad \left(\varphi_1 = \frac{z_1}{z_{10}}, \varphi_2 = \frac{z_2}{z_{10}}, \varphi_3 = \frac{z_3}{z_{10}}, \Lambda = \frac{-2f}{C_{f_0}} \right) \tag{1.9}$$

Для качественного анализа задачи распределение τ / τ_0 можно найти на основе полиномиальной аппроксимации. В этом случае [1]

$$\tau / \tau_0 = \Psi + (b\omega + \Lambda\eta) f(\eta) \tag{1.10}$$

При аппроксимации касательного напряжения полиномом второй или третьей степени выражение $f(\eta)$ соответственно принимает вид

$$f(\eta) = (1 + \eta)^{-1}, \quad \text{или} \quad f(\eta) = (1 + 2\eta)^{-1}$$

Для решения задачи необходима также аналитическая формулировка стандартного профиля скорости. Как теоретические решения, основанные на соображениях подобия и размерности, так и многочисленные экспериментальные данные, систематизированные в [4], показывают, что полностью турбулентную часть стандартного профиля можно представить в виде практически универсального закона дефекта скорости

$$\frac{1 - \omega_0}{V^{1/2} C_{f_0}} = D_0(\eta), \quad D_0(\eta) = -\frac{1}{\kappa} [\ln \eta + W(\eta)] \tag{1.11}$$

В работе [1] показано, что при $R \rightarrow \infty$ толщина вязкого подслоя $\eta_1 \rightarrow 0$ и

$$V^{1/2} C_{f_0} = -\kappa (\ln \eta_1)^{-1} \rightarrow 0 \tag{1.12}$$

С учетом этого обстоятельства из (1.11) имеем, что

$$\omega = 1 \quad \text{при} \quad \eta > 0, \quad \omega_0 = 0 \quad \text{при} \quad \eta = 0 \tag{1.13}$$

Таким образом, представление (1.11) при $R \rightarrow \infty$ будет корректным в смысле удовлетворения граничного условия на стенке. Количественные формулировки функции следа $W(\eta)$ весьма разнообразны и существенно зависят от того, как определена толщина пограничного слоя.

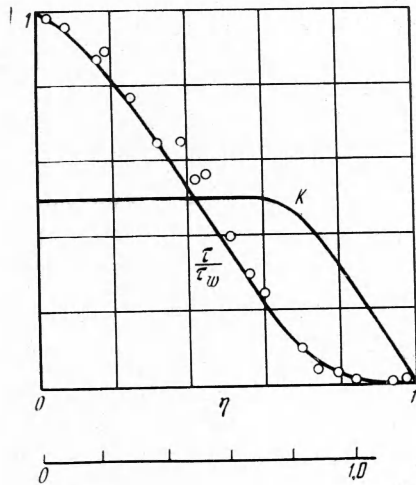
В данной работе за толщину турбулентного пограничного слоя в стандартных условиях принято то значение поперечной координаты, при котором принимает нулевое значение коэффициент корреляции турбулентных пульсаций скорости

$$K = \frac{\langle uv \rangle}{(\langle u^2 \rangle \langle v^2 \rangle)^{1/2}}$$

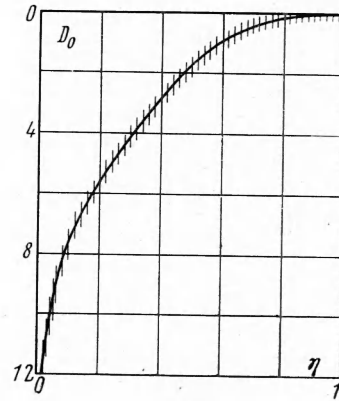
Эта координата соответствует также нулевому значению турбулентного касательного напряжения. Функция следа была аппроксимирована выражением

$$W = a_0 + a_1\eta + 1/2 a_2\eta^2 + \int_0^\eta \eta^{-a_3} \exp\left(\frac{-a_4}{\eta}\right) d\eta \quad (1.14)$$

При этом для определения коэффициентов a_i было принято, что из условия плавного смыкания с внешним течением $D_0 \approx 0$ и $dD_0/d\eta \approx 0$. Три оставшихся коэффициента определялись методом наименьших квадратов по экспериментальным данным [4] для D_0 . При этом для удовлетворения условия равенства нулю коэффициента корреляции на внешней



Фиг. 1



Фиг. 2

границе пограничного слоя необходимо увеличить его толщину в 1.2 раза по сравнению с принятой в [4]. Последнее хорошо видно из фиг. 1, где приведены экспериментальные данные Клебанова (см., например, [3]) по распределению коэффициента корреляции и относительного касательного напряжения для одного из опытов, также вошедшего в серию, обработанную в [4].

Нижняя шкала оси абсцисс на этой фигуре соответствует толщине пограничного слоя, принятой в [4]. Определение толщины турбулентного пограничного слоя по коэффициенту корреляции более точно, так как эта функция подходит к нулевому значению достаточно круто, в то время как изменение скорости в районе $y \approx \delta$ весьма мало. Аппроксимация $D_0(\eta)$ по (1.14) вместе с экспериментальными данными представлена на фиг. 2. В дальнейшем было принято, что универсальность (1.11), обнаруженная в [4] для конечных чисел R , сохраняется и при $R \rightarrow \infty$. На фиг. 1 представлена также теоретическая зависимость для определения касательного напряжения, полученная из выражений (1.8) и (1.14) при $dp/dx = 0$ и $R \rightarrow \infty$.

Из совместного рассмотрения выражений (1.7), (1.9) и (1.11) следует, что задача об асимптотическом относительном законе трения и асимптотическом профиле скорости сводится в данном случае к решению интегро-

дифференциального уравнения

$$\left(\frac{d\omega}{d\eta}\right)^2 = \left\{ \frac{C_{f_0}}{2} [\Psi\varphi_1 + b\varphi_2] + (-f)\varphi_3 \right\} \left(-\frac{dD_0}{d\eta}\right)^2 \quad (1.15)$$

с граничными условиями (1.7) и с той или иной формулировкой для функций $\varphi_1, \varphi_2, \varphi_3, D_0$.

2. Асимптотический относительный закон трения и асимптотический профиль скорости. Общее решение уравнения (1.15) даже в случае простейшего аппроксимационного представления (1.10) функций $\varphi_1, \varphi_2, \varphi_3$ неизвестно. При $R \rightarrow \infty$ коэффициент трения $C_{f_0} \rightarrow 0$, и если пренебречь членом с C_{f_0} то получим

$$\left(\frac{d\omega}{d\eta}\right)^2 = (-f)\varphi_3 \left(\frac{dD_0}{d\eta}\right)^2 \quad (2.1)$$

Для этого уравнения граничное условие $\omega = 0$ при $\eta = 0$ в общем случае не может быть выполнено. Как указано в работе [5], в этих случаях можно подозревать наличие сингулярного характера решения, и классический метод пренебрежения членом с малым параметром или разложения в ряд по этому параметру не может быть применен для всей области решения. Для решения таких задач был предложен [5] метод сращиваемых асимптотических разложений. В соответствии с этим методом введем внутреннюю и внешнюю области решения и разложим это решение в ряд по параметру $\gamma_0 = V^{1/2} C_{f_0}$. Рассмотрим внешнее решение (верхний индекс e) в виде

$$\omega = \omega^e = \sum \omega_n^e \gamma_0^n \quad (2.2)$$

Подставляя (2.2) в (1.15) и приравнивая члены с одинаковыми показателями степени при γ_0 , получаем с точностью до γ_0 .

$$\frac{d\omega_0^e}{d\eta} = V(-f)\varphi_3 \left(-\frac{dD_0}{d\eta}\right), \quad \omega_0^e = 1 \quad \text{при} \quad \eta = 1 \quad (2.3)$$

Здесь индекс e совместно с индексом 0 обозначает внешнее решение нулевого порядка по γ_0 . Формальное интегрирование по η дает

$$\omega_0 = 1 - V(-f) \int_{\eta}^1 V \varphi_3 \left(-\frac{dD_0}{d\eta}\right) d\eta \quad (2.4)$$

Для внутреннего решения введем верхний индекс i и новую внутреннюю переменную, в качестве которой выберем безразмерную скорость в стандартных условиях

$$\omega_0 = 1 - \gamma_0 D_0 \quad (2.5)$$

Разлагая в ряд по γ_0 , представим внутреннее решение в виде

$$\omega^i = \sum \omega_n^i(\omega_0) \gamma_0^n \quad (2.6)$$

Подставляя это соотношение в (1.15) и приравнивая члены с одинаковыми показателями при γ_0 , получаем с точностью до γ_0

$$(d\omega_0^i / d\omega_0)^2 = \Psi\varphi_1 + b\varphi_2, \quad \omega_0^i = 0 \quad \text{при} \quad \omega_0 = 0 \quad (2.7)$$

Здесь индекс i совместно с индексом 0 обозначает внутреннее решение нулевого порядка по γ_0 . При малых η (область внутреннего решения) из

(1.8) и (1.9), или из исходных уравнений пограничного слоя в частных производных, следует:

$$\varphi_1 \rightarrow 1, \quad \varphi_2 \rightarrow \omega \quad \text{при} \quad \eta \rightarrow 0$$

С учетом этого обстоятельства из уравнения (2.7) получаем

$$(d\omega_0^i/d\omega_0)^2 = \Psi + b\omega_0^i, \quad \omega_0^i = 0 \quad \text{при} \quad \omega_0 = 0 \quad (2.8)$$

Решение (2.8) имеет вид

$$\omega_0^i = \sqrt{\Psi} \omega_0 + 1/4 b \omega_0^2 \quad (2.9)$$

Параметр Ψ является пока свободным и его связь с f и b устанавливается путем согласования внутреннего и внешнего решения. Для нахождения этой связи применим принцип предельного сращивания, который формулируется так [5]: внешний предел внутреннего разложения равен внутреннему пределу внешнего разложения.

Аналитическая формулировка этого принципа в рассматриваемом случае имеет вид

$$\omega_0^i(1) = \omega_0^e(0) \quad (2.10)$$

Подставляя (2.4) и (2.9) в (2.10), получаем

$$\sqrt{\Psi} + 1/4 b = 1 - \sqrt{-f} \int_0^1 \sqrt{\varphi_3} \left(-\frac{dD_0}{d\eta} \right) d\eta \quad (2.11)$$

Это и есть предельный относительный закон трения при градиентном течении со вдувом. Для профиля скорости можно построить составное решение нулевого порядка по γ_0 во всей области решения. Для получения составного решения воспользуемся аддитивным методом [5]

$$\omega_0^+ = \begin{cases} \omega_0^e + \omega_0^i - \omega_0^e(0) \\ \omega_0^e + \omega_0^i - \omega_0^i(1) \end{cases} \quad (2.12)$$

Здесь индекс плюс совместно с индексом 0 обозначает составное решение нулевого порядка по γ_0 . С учетом (2.4), (2.9) и (2.11) из (2.12) находим

$$\omega_0^+ = 1 - \sqrt{-f} \int_0^1 \sqrt{\varphi_3} \left(-\frac{dD_0}{d\eta} \right) d\eta + \sqrt{\Psi} \omega_0 + \frac{b}{4} \omega_0^2 - \sqrt{\Psi} - \frac{b}{4}$$

или

$$\omega_0^+ = \sqrt{-f} \int_0^1 \sqrt{\varphi_3} \left(-\frac{dD_0}{d\eta} \right) d\eta + \sqrt{\Psi} \omega_0 + \frac{b}{4} \omega_0^2 \quad (2.13)$$

Исключая Ψ , при помощи (2.11) получим

$$\begin{aligned} \omega_0^+ = \sqrt{-f} \left[\int_0^1 \sqrt{\varphi_3} \left(-\frac{dD_0}{d\eta} \right) d\eta - \omega_0 \int_0^1 \sqrt{\varphi_3} \left(-\frac{dD_0}{d\eta} \right) d\eta \right] + \\ + \omega_0 \left(1 - \frac{b}{4} \right) + \frac{b}{4} \omega_0^2 \end{aligned} \quad (2.14)$$

Из выражений (1.13), (2.13), отчетливо видно, что при $\gamma_0 \rightarrow 0$ решение состоит из двух частей: сингулярной

$$\sqrt{\Psi} \omega_0 + 1/4 b \omega_0^2$$

целиком сосредоточенной в бесконечно малой окрестности η , и регулярной, имеющей место в интервале $0 < \eta \leq 1$. С учетом (1.13) при $R \rightarrow \infty$ решение (2.13) можно записать также в виде

$$\omega_0^+ = \left(\sqrt{\bar{\Psi}} + \frac{b}{4} \right) + \sqrt{(-f)} \int_0^{\eta} \sqrt{\Phi_3} \left(-\frac{dD_0}{d\eta} \right) d\eta \quad \text{при} \quad \eta > 0 \quad (2.15)$$

$$\omega_0^+ = 0 \quad \text{при} \quad \eta = 0$$

Таким образом, применение принципа сращиваемых асимптотических разложений позволило ясно и просто выявить особый характер задачи о предельном течении ($R \rightarrow \infty$, $\gamma_0 \rightarrow 0$) в турбулентном пограничном слое с градиентом давления и вдувом.

Сопоставим решение (2.15) с некоторыми точными частными решениями уравнения (1.15).

Течение с градиентом давления при отсутствии вдува. Дифференциальное уравнение задачи в этом случае принимает вид

$$\frac{d\omega}{d\eta} = \sqrt{\gamma_0^2 \bar{\Psi} \Phi_1 + (-f) \Phi_3} \left(-\frac{dD_0}{d\eta} \right) \quad (2.16)$$

с граничными условиями (1.7)

Решение этого уравнения можно записать в виде

$$\omega = \lim_{\substack{\eta_1 \rightarrow 0 \\ \eta_2 \rightarrow 0}} \int_{\eta_1}^{\eta_2} \frac{1}{\kappa \eta} \sqrt{\gamma_0^2(\eta_1) \bar{\Psi} + (-f) \eta} d\eta + \int_{\eta_2}^{\eta} \sqrt{\gamma_0^2(\eta_1) \bar{\Psi} \Phi_1 + (-f) \Phi_3} \left(-\frac{dD_0}{d\eta} \right) d\eta \quad (2.17)$$

где $\eta_2 > \eta_1$ и учтено, что

$$\left(-\frac{dD_0}{d\eta} \right) \rightarrow \frac{1}{\kappa \eta} \quad \text{при} \quad \eta \rightarrow 0$$

Весьма существенным здесь является тот факт, что параметр γ_0 связан с нижним пределом интегрирования в первом интеграле. Вычисляя первый интеграл, получаем

$$\omega = \lim_{\substack{\eta_1 \rightarrow 0 \\ \eta_2 \rightarrow 0}} \frac{\gamma_0(\eta_1) \sqrt{\bar{\Psi}}}{\kappa} \ln \frac{(\Phi_2 - \theta)(\Phi_1 + \theta)}{(\Phi_2 + \theta)(\Phi_1 - \theta)} + \frac{2}{\kappa} (\Phi_2 - \Phi_1) +$$

$$+ \int_0^{\eta} \sqrt{(-f) \Phi_3} \left(-\frac{dD_0}{d\eta} \right) d\eta \quad (\eta_2 > \eta_1) \quad (2.18)$$

$$\Phi_v = \sqrt{\gamma_0^2(\eta_1) \bar{\Psi} + (-f) \eta_v} \quad (v=1, 2), \quad \theta = \sqrt{\gamma_0^2(\eta_1) \bar{\Psi}}$$

Подставляя

$$\gamma_0^2(\eta_1) = \left(-\frac{\kappa}{\ln \eta_1} \right)^2 \quad \text{при} \quad \eta_1 \rightarrow 0$$

в выражение (2.18) и вычисляя предел правой части, после преобразований получаем

$$\omega = \sqrt{\bar{\Psi}} - \sqrt{(-f)} \int_0^{\eta} \sqrt{\Phi_3} \left(-\frac{dD_0}{d\eta} \right) d\eta \quad \text{при} \quad \eta > \eta_1 \rightarrow 0 \quad (2.19)$$

$$\omega = 0 \quad \text{при} \quad \eta = \eta_1 \rightarrow 0$$

Таким образом, получен тот же результат, что и методом сращиваемых асимптотических разложений при $b = 0$.

Течение со вдувом при отсутствии градиента давления. Уравнение (1.15) в этом случае принимает вид

$$\frac{d\omega}{d\eta} = \sqrt{\gamma_0^2 (\Psi\varphi_1 + b\varphi_2)} \left(-\frac{dD_0}{d\eta} \right) \quad (2.20)$$

или после введения переменной ω_0

$$d\omega / d\omega_0 = \sqrt{\Psi\varphi_1 + b\varphi_2} \quad (2.21)$$

В пристенной области $\eta \rightarrow 0$, $\varphi_1 \rightarrow 1$, $\varphi_2 \rightarrow \omega$ и, следовательно,

$$d\omega / d\omega_0 = \sqrt{\Psi + b\omega} \quad (2.22)$$

Решение этого уравнения с граничными условиями (1.7) имеет вид [1]

$$\omega = \sqrt{\Psi} \omega_0 + 1/4 b \omega_0^2 \quad (2.23)$$

Подставляя (2.23) в (1.8), находим, что если $\gamma_0 \rightarrow 0$, то $z_1 \rightarrow z_{10}$ при $0 \leq \eta \leq 1$, $\varphi_2 \rightarrow 1$ при $\eta > 0$, $\varphi_2 \rightarrow \omega$ при $\eta \rightarrow 0$.

Следовательно, при $\gamma_0 \rightarrow 0$ и $f \equiv 0$ уравнение (2.21) переходит в (2.22) и вместе со своим решением (2.23) не зависит от η . Так же как и в предыдущем частном случае, решение (2.23) совпадает с решением (2.13), полученным по методу сращиваемых асимптотических разложений.

3. Численные результаты. Рассмотрим сначала случай, когда функция φ_3 автомодельна по параметрам возмущения, например, выбрана по (1.10). Из (2.11) в этом случае следует:

$$\sqrt{\Psi} = (1 - 1/4 b)(1 - \sqrt{F}), \quad F = \dot{f} / f_k \quad (3.1)$$

Параметр \dot{f}_k также находится из (2.11) при условии $\Psi = 0$

$$\sqrt{(-f_k)} = \left(1 - \frac{b}{4}\right) \left[\int_0^1 \sqrt{\Psi_3} \left(-\frac{dD_0}{d\eta}\right) d\eta \right]^{-1} \quad (3.2)$$

Из (3.1) и (3.2) видно, что предельный относительный закон трения в форме (3.1) не зависит от конкретной количественной формулировки φ_3 . Конкретный вид этой функции определяет лишь параметр \dot{f}_k при заданном b или параметр b_k при заданном \dot{f} . Из соотношений (1.8) видно, что функции φ_1 , φ_2 , φ_3 неявным образом зависят от параметров возмущения, и любой метод, основанный на их автомодельности по возмущениям, не даст правильных количественных результатов. Выделим из (2.15) особую часть решения, что сводится к изменению граничного условия для скорости на стенке. В этом случае уравнения (2.15) и (1.8), (1.9) образуют систему

$$\frac{d\omega}{d\eta} = \sqrt{-f} \sqrt{\varphi_3} \left(-\frac{dD_0}{d\eta}\right), \quad \frac{dJ_1}{d\eta} = \omega, \quad \frac{dJ_2}{d\eta} = \omega^2 \quad (3.3)$$

где

$$\varphi_3 = \frac{\eta - H(J_1\omega - J_2) - \omega J_1}{1 - [D_0\eta - J_3(\eta)] [J_3(1)]^{-1}}, \quad J_1 = \int_0^\eta \omega d\eta, \quad J_2 = \int_0^\eta \omega^2 d\eta, \quad J_3 = \int_0^\eta D_0 d\eta$$

Граничные условия принимают вид

$$\begin{aligned} \omega &= \sqrt{\Psi} + 1/4 b, \quad J_1 = 0, \quad J_2 = 0 \quad \text{при } \eta = 0 \\ \omega &= 1, \quad J_1 = 1 - \delta^* / \delta, \quad J_2 = 1 - \delta^* / \delta - \delta^{*2} / \delta \quad \text{при } \eta = 1 \end{aligned} \quad (3.4)$$

Граничные условия при $\eta = 1$ позволяют найти зависимости Ψ , δ^* / δ , δ^{**} / δ и H от f и b .

Система (3.3) с граничными условиями (3.4) решалась на ЭЦВМ.

На фиг. 3 представлен предельный относительный закон трения в виде зависимости

$$G(F, b) = \frac{\Psi}{(1 - 1/4b)^2} \quad (3.5)$$

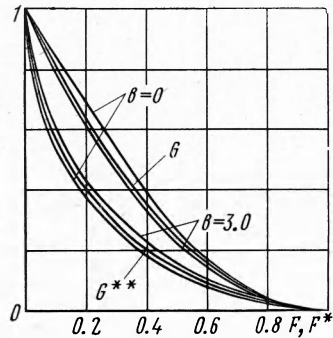
Связь параметров b и f в точке отщеснения (отрыва) пограничного слоя $\Psi = 0$ представлена на фиг. 4. При расчетах турбулентного пограничного слоя более удобным является параметр градиентности, построенный по толщине потери импульса

$$f^{**} = \frac{\delta^{**}}{u_\delta} \frac{du_\delta}{dx}$$

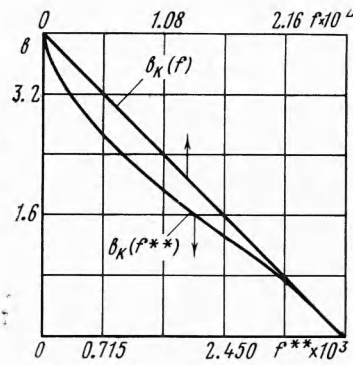
Поэтому на фиг. 3 представлен также предельный относительный закон трения в виде

$$G^{**}(F, b) = \frac{\Psi^{**}}{(1 - 1/4b)^2}, \quad F^{**} = \frac{f^{**}}{f_k^{**}} \quad (3.6)$$

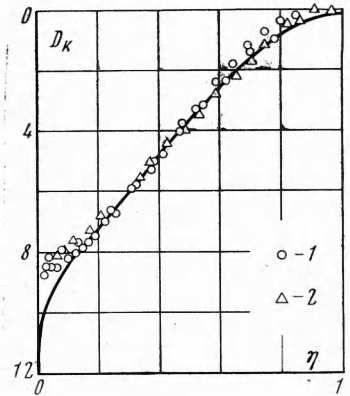
Связь параметров b и f^{**} в точке отщеснения пограничного слоя ($\Psi^{**} = 0$) представ-



Фиг. 3



Фиг. 4



Фиг. 5

лена на фиг. 4. Видно, что зависимости (3.5) и (3.6) слабо расслаиваются по параметру b и удовлетворительно аппроксимируются выражениями

$$G = (1 - F)^2, \quad G^{**} = 1 - \sqrt[3]{F^{**}(2 - F^{**})} \quad (3.7)$$

При отсутствии градиента давления ($f = 0$) полученные в данной работе результаты тождественны теоретическим результатам работы [1], где проведено достаточно подробное сопоставление теории с экспериментом. В работе [6] на основе тщательного анализа большого количества современных экспериментальных данных по отрыву турбулентного пограничного слоя установлено, что $2.2 < H_k < 2.8$ и значения $H_k > 2.4$ обусловлены, вероятно, вторичными течениями или искажениями, вносимыми зонами, в пристеночной области. Полученное в данной работе теоретическое значение $H_k = 2.3$. На фиг. 5 предельный расчетный профиль скорости

$D_k = (1 - \omega) / \sqrt{-f^*}$ при $\Psi = 0$ сопоставляется с известными экспериментальными профилями Стрэтфорда, полученными [7] при $\Psi \approx 0$. (0 — сечение 1, Δ — сечение 2). Экспериментальные значения параметров градиентности составляли при этом $0.0065 < f_k^* < 0.01$, $H_k \approx 2.29$.

Теоретическое значение $f_k^* = f^{**} H_k = 0.00821$, а также теоретический профиль скорости удовлетворительно совпадают с экспериментальными.

Автор благодарит С. С. Кутателадзе, А. И. Леонтьева и Г. В. Ароновича за внимание к работе.

Поступила 11 I 1971

ЛИТЕРАТУРА

1. К у т а т е л а д з е С. С., Л е о н т ь е в А. И. Турбулентный пограничный слой сжимаемого газа. Новосибирск, Изд-во СО АН СССР, 1962.
2. Теплообмен и трение в турбулентном пограничном слое. Новосибирск. Изд-во СО АН СССР, 1964.
3. Р о т т а И. К. Турбулентный пограничный слой в несжимаемой жидкости. Л., «Судостроение», 1967.
4. К л а у з е р Ф. Турбулентный пограничный слой. Сб. «Проблемы механики», вып. 2, М., Изд-во иностр. лит., 1959.
5. В а н - Д а й к М. Методы возмущений в механике жидкости. М., «Мир», 1967.
6. F e r b h o l z Н. Н. Experimentelle Untersuchung einer inkompressiblen turbulenten Grenzschicht mit Wandreibung nahe Null an einem längsangeströmten Kreiszyylinder. Z. Flugwiss., 1968, Irg. 16, H. 11.
7. S t r a t f o r d В. An experimental flow with zero skin friction throughout its region of pressure rise. J. Fluid Mech., 1959, vol. 5, pt 1.